

# 7. előadás

2020. október 19.

Az előző előadáson már elkezdtük a primitív függvények meghatározására vonatkozó (a deriválási szabályok „megfordításaiból” adódó) alapvető módszerek felsorolását. Emlékeztünk arra, hogy a következő integrálási szabályokat már ismertettük:

- 1.** Alapintegrálok, a határozatlan integrál linearitása.
- 2.** Az első helyettesítési szabály.
- 3.** A parciális integrálás.

Most folytatjuk a szóban forgó felsorolást.

## **4. A második helyettesítési szabály**

Megemlítettük már azt, hogy az összetett függvény deriválására vonatkozó tételnek a „megfordításával” kapcsolatban két állítást fogalmazunk meg. Az elsőt már megismertük:

**Az első helyettesítési szabály.** *Legyenek adottak az  $I, J \subset \mathbb{R}$  nyílt intervallumok és a  $g : I \rightarrow \mathbb{R}$ ,  $f : J \rightarrow \mathbb{R}$  függvények. Tegyük fel, hogy  $g \in D(I)$ ,  $\mathcal{R}_g \subset J$  és a  $f$  függvénynek van primitív függvénye. Ekkor az  $(f \circ g) \cdot g'$  függvénynek is van primitív függvénye és*

$$(*) \quad \int f(g(x)) \cdot g'(x) dx = F(g(x)) + c \quad (x \in I),$$

ahol  $F$  a  $f$  függvény egy primitív függvénye.

Az összetett függvény deriválására vonatkozó tétel egy másik „megfordításával” kapjuk a nagyon sokszor alkalmazható (és tegyük hozzá, hogy egyben a „legbonyolultabb”) integrálási szabályt.

Induljunk ki abból, hogy a  $(*)$  képletet az

$$\int f \circ g \cdot g' = \left( \int f \right) \circ g$$

alakban írjuk fel. Ha most feltesszük még azt is, hogy  $g$  **invertálható**, akkor azt kapjuk, hogy

$$\left( \int f \circ g \cdot g' \right) \circ g^{-1} = \int f.$$

Ezt a határozatlan integrálok jelölésére bevezetett másik szimbólummal a következő alakban is felírhatjuk:

$$(**) \quad \int f(x) dx = \int f(g(t)) \cdot g'(t) dt \Big|_{t=g^{-1}(x)}.$$

Figyeljük meg, hogy mit jelent és mikor érdemes használni ezt a képletet. Tegyük fel, hogy egy  $\int f(x) dx$  határozatlan integrált, vagyis  $f$  egyelőre ismeretlen primitív függvényét akarjuk kiszámítani. Ekkor a „rég”  $x$  változó helyett vezessük be az  $x = g(t)$  egyenlőségből adódó

$t = g^{-1}(x)$  „új” változót. Ha **sikerül (!)** a  $g$  függvényt úgy megválasztani, hogy  $f \circ g \cdot g'$  primitív függvényét (vagyis az  $\int f \circ g \cdot g'$  határozatlan integrált) már ki tudjuk számítani, akkor a  $(**)$  képlettel megkapjuk  $f$  primitív függvényeit.

Az előzőeket a következő állításban foglaljuk össze:

**A második helyettesítési szabály.** Legyenek  $I, J \subset \mathbb{R}$  nyílt intervallumok. Tegyük fel, hogy  $f : I \rightarrow \mathbb{R}$ ,  $g : J \rightarrow I$  bijekció,  $g \in D(J)$  és az  $f \circ g \cdot g' : J \rightarrow \mathbb{R}$  függvénynek van primitív függvénye. Ekkor az  $f$  függvénynek is van primitív függvénye és

$$\int f(x) dx \underset{x=g(t)}{=} \int f(g(t)) \cdot g'(t) dt \Big|_{t=g^{-1}(x)} \quad (x \in I).$$

**1. példa.** Az

$$\int \sqrt{1-x^2} dx \quad (x \in (-1, 1))$$

határozatlan integrál kiszámításához azt az **ötletet** használjuk, hogy az

$$x = \sin t =: g(t) \quad (t \in (-\frac{\pi}{2}, \frac{\pi}{2}))$$

helyettesítést alkalmazzuk. Mivel  $g'(t) = \cos t > 0$  ( $t \in (-\frac{\pi}{2}, \frac{\pi}{2})$ ), ezért a  $g$  függvény szigorúan monoton növekedő a  $(-\frac{\pi}{2}, \frac{\pi}{2})$  intervallumon, következésképpen invertálható és  $t = g^{-1}(x) = \arcsin x$  ( $x \in (-1, 1)$ ). A második helyettesítési szabályra vonatkozó tétel tehát alkalmazható. Így

$$\begin{aligned} \int \sqrt{1-x^2} dx &= \int \sqrt{1-\sin^2 t} \cdot \cos t dt = \\ &= \left( \cos t > 0 \text{ miatt } \sqrt{1-\sin^2 t} = \cos t \right) = \int \cos^2 t dt = \int \frac{1+\cos 2t}{2} dt = \\ &= \frac{t}{2} + \frac{\sin 2t}{4} + c \Big|_{t=\arcsin x} = \frac{\arcsin x}{2} + \frac{\sin(2 \arcsin x)}{4} + c. \end{aligned}$$

Itt a második tag egyszerűbb alakra hozható. Mivel  $\sin 2t = 2 \sin t \cdot \cos t$  és  $t \in (-\frac{\pi}{2}, \frac{\pi}{2})$ , ezért

$$\begin{aligned} \sin(2 \arcsin x) &= 2 \sin(\arcsin x) \cdot \cos(\arcsin x) = \\ &= 2x \sqrt{1-(\sin(\arcsin x))^2} = 2x \sqrt{1-x^2}. \end{aligned}$$

Végül azt kapjuk, hogy

$$\int \sqrt{1-x^2} dx = \frac{1}{2} \cdot \arcsin x + \frac{1}{2} \cdot x \sqrt{1-x^2} + c \quad (x \in (-1, 1), c \in \mathbb{R}). \blacksquare$$

Ezt az eredményt parciális integrálással is megkaphatjuk. (Hogyan?)

A gyakorlatokon fogunk **vázolni** olyan további módszereket, amelyek segítségével lényegesen lehet bővíteni a kiszámítható primitív függvények körét.

**5. Racionális törtfüggvények primitív függvényei.**

**6. Racionális törtfüggvények integrálására vonatkozó helyettesítések.**

## Megjegyzések a primitív függvényekről

**1° Primitív függvény létezésének** a folytonosság *elégséges*, a Darboux-tulajdonság pedig *szükséges* feltétele. Jelenleg nem ismeretes olyan egyszerűen megfogalmazható, a függvény belső tulajdonságain alapuló feltétel, amelyik *szükséges és elégséges* feltételt ad arra, hogy az adott függvénynek legyen primitív függvénye.

**2°** Sok esetben primitív függvényeket **különböző módszerekkel** is meghatározhatunk, és esetenként kaphatunk (formai szempontból) különböző képleteket is. Az egyenlőségük igazolásához vegyük két különböző alakú primitív függvény különbségét, és lássuk be, hogy ennek a deriváltja a megadott intervallumon azonosan nulla.

**3° Elemi függvények primitív függvényei.** Könnyű meggondolni azt, hogy egy elemi függvény deriváltja mindig elemi függvény. Talán első hallásra meglepőnek tűnhet, de *vannak olyan elemi függvények, amelyeknek a primitív függvénye nem elemi függvény.* Úgy is fogalmazhatunk, hogy a deriválás inverz művelete (az integrálás) kivezet az elemi függvények köréből. Ez jelentős különbség a deriválás és az integrálás között. A szóban forgó állítás precíz bizonyítása meglehetősen nehéz. *Joseph Liouville* (1809–1882) francia matematikus volt az első, aki megmutatta, hogy léteznek ilyen elemi függvények. Bebizonyítható, hogy pl. az alábbi (folytonos) elemi függvények primitív függvényei nem elemi függvények:

$$\begin{aligned} e^{\pm x^2} \quad (x \in \mathbb{R}), \quad \sin x^2 \quad (x \in \mathbb{R}), \quad \cos x^2 \quad (x \in \mathbb{R}), \\ \frac{\sin x}{x} \quad (x \in (0, +\infty)), \quad \frac{\cos x}{x} \quad (x \in (0, +\infty)), \quad \frac{e^x}{x} \quad (x \in (0, +\infty)), \\ \frac{1}{\ln x} \quad (x \in (0, +\infty)), \quad \sqrt{x^3 + 1} \quad (x \in (0, +\infty)). \end{aligned}$$

Ha egy határozott integrál kiszámolásánál ilyen függvények adódnak, akkor a Newton–Leibniz-tétel nem alkalmazható.

**4° Az „ügyeskedésekről”.** A gyakorlatokon látni fogjuk, hogy sok integrandustípus esetén vannak olyan általános módszerek, amelyekkel a primitív függvényeket meg tudjuk határozni. Ezek alkalmazásai azonban időnként meglehetősen sok számolást igényelnek. Bizonyos esetekben az integrálandó függvény alkalmas („ügyes”) átalakításával jóval egyszerűbben is célhoz érhetünk. A gyakorlatokon mutatunk majd ilyen példákat is.

**5° Szimbolikus programcsomagok (kompteralgebrai rendszerek).**

*Mathematica* (Wolfram Research), *Maple* (University of Waterloo), *Matlab* (Symbolic Math Toolbox), *Maxima* (MIT Project MAC), *SageMath*.

Ezen általános célú programcsomagok mellett vannak olyan programok, amelyek segítségével a matematika egy adott részterületén felvetődő, már speciális igényeket kielégítő számolások is elvégezhetők (pl. CAYLEY, GAP, LiE, CoCoA, R).

Online elérhető pl. a „WolframAlpha” és a „MathWorld” (matematikai enciklopédia).

## A határozott integrál néhány alkalmazása

Ebben a pontban a határozott integrál néhány geometriai alkalmazását mutatjuk be.

### Síkidom területe

Emlékeztetünk arra, hogy ha a korlátos  $f : [a, b] \rightarrow \mathbb{R}$  függvény Riemann-integrálható az  $[a, b]$  intervallumon és  $f(x) \geq 0$  ( $x \in [a, b]$ ), akkor az  $f$  grafikonja alatti

$$A := \{(x, y) \in \mathbb{R}^2 \mid a \leq x \leq b, 0 \leq y \leq f(x)\}$$

síkidom területét így értelmeztük:

$$T(A) := \int_a^b f(x) dx.$$

Ha  $f \leq 0$  az  $[a, b]$  intervallumon, akkor a

$$B := \{(x, y) \in \mathbb{R}^2 \mid a \leq x \leq b, f(x) \leq y \leq 0\}$$

síkidom területe

$$T(B) := - \int_a^b f(x) dx.$$

**2. példa. A kör területe.** Helyezzük el az  $R > 0$  sugarú körlapot a koordináta-rendszerben úgy, hogy az origó legyen a körlap középpontja. Ekkor a körvonal egyenlete  $x^2 + y^2 = R^2$ . Világos, hogy elég a felső félsíkba eső félkörlap területét meghatározni. A körvonal felső félsíkba eső része az

$$f(x) := \sqrt{R^2 - x^2} \quad (x \in [-R, R])$$

függvény grafikonja.

Mivel az  $f$  függvény folytonos, ezért Riemann-integrálható az  $[a, b]$  intervallumon, következésképpen a szóban forgó félkörlapnak *van* területe, és az egyenlő a következő határozott integrállal:

$$\int_{-R}^R \sqrt{R^2 - x^2} dx.$$

A Newton–Leibniz-tétel szerint először az integrandus egy primitív függvényét kell meghatározni. Ez létezik, mert a szóban forgó függvény folytonos.

Mivel

$$\int \sqrt{1 - x^2} dx = \frac{1}{2} \cdot \arcsin x + \frac{1}{2} \cdot x \sqrt{1 - x^2} + c \quad (x \in (-1, 1)), \quad \text{ezért}$$

$$\begin{aligned}
\int \sqrt{R^2 - x^2} dx &= R \int \sqrt{1 - \left(\frac{x}{R}\right)^2} dx = \\
&= R \cdot \frac{1}{\frac{1}{R}} \left( \frac{1}{2} \arcsin \frac{x}{R} + \frac{1}{2} \cdot \frac{x}{R} \sqrt{1 - \left(\frac{x}{R}\right)^2} \right) + c = \\
&= \frac{R^2}{2} \cdot \arcsin \frac{x}{R} + \frac{R x}{2} \sqrt{1 - \left(\frac{x}{R}\right)^2} + c \quad (x \in (-R, R)).
\end{aligned}$$

Így a Newton–Leibniz-tétel szerint

$$\begin{aligned}
\int_{-R}^R \sqrt{R^2 - x^2} dx &= \left[ \frac{R^2}{2} \cdot \arcsin \frac{x}{R} + \frac{R x}{2} \sqrt{1 - \left(\frac{x}{R}\right)^2} \right]_{-R}^R = \\
&= \frac{R^2}{2} \cdot \arcsin 1 - \frac{R^2}{2} \cdot \arcsin(-1) = \frac{R^2}{2} \cdot \frac{\pi}{2} - \frac{R^2}{2} \cdot \left(-\frac{\pi}{2}\right) = \frac{R^2 \pi}{2},
\end{aligned}$$

vagyis az  $R$  sugarú félkör lap területe  $R^2 \pi / 2$ . Ezzel megkaptuk az  $R$  sugarú kör lap területének ismert képletét:  $R^2 \pi$ .

### Síkbeli görbe ívhossza

Az ívhossz problémájánál a terület definíciója során megismert gondolatmenetet követjük. A görbét egy felosztáshoz tartozó töröttvonalal közelítjük. A szemléletre hivatkozva azt várjuk, hogy egy „elég finom” beírt töröttvonal annyira megközelíti a görbét, hogy a hosszúsága is közel lesz a görbe hosszához. Mindezekből azt szűrhetjük le, hogy a görbe ívhossza egyenlő a beírt töröttvonal hosszainak a szuprémumával. Ezt a megállapítást fogjuk definícióként elfogadni.

A definíciót csak függvénygrafikonokra fogalmazzuk meg. Legyen valamilyen korlátos és zárt  $[a, b]$  intervallum esetén adott az  $f : [a, b] \rightarrow \mathbb{R}$  függvény. Emlékeztetünk arra, hogy a

$$\Gamma_f := \{(x, f(x)) \mid x \in [a, b]\}$$

síkbeli halmazt (görbét) neveztük  $f$  grafikonjának.

Tetszőleges  $\tau = \{a = x_0 < x_1 < \dots < x_n = b\} \in \mathcal{F}[a, b]$  felosztás esetén (alkalmas  $n \in \mathbb{N}$  mellett) tekintsük az

$$(x_0, f(x_0)), (x_1, f(x_1)), \dots, (x_n, f(x_n))$$

pontokat összekötő szakaszokat; ezt nevezzük az  $f$  függvénygrafikon  $\tau$  felosztáshoz tartozó *beírt töröttvonalának*. Világos, hogy ennek hossza a következő összeg:

$$\ell_f(\tau) = \sum_{i=0}^{n-1} \sqrt{(x_{i+1} - x_i)^2 + (f(x_{i+1}) - f(x_i))^2}.$$

Az előzőek alapján elég természetes a következő definíció.

**Definíció.** Legyen  $a, b \in \mathbb{R}$ ,  $a < b$  és  $f : [a, b] \rightarrow \mathbb{R}$  adott függvény. Azt mondjuk, hogy a

$$\Gamma_f := \{(x, f(x)) \mid x \in [a, b]\}$$

függvénygrafikon **rektifikálható** (vagy más szóval **van ívhossza**), ha

$$\ell(\Gamma_f) := \sup\{\ell_f(\tau) \mid \tau \in \mathcal{F}[a, b]\} < +\infty.$$

Ezt a valós számot a szóban forgó függvénygrafikon **ív hosszának** nevezzük.

A terület problémájához hasonlóan is felvetjük a következő kérdéseket: 1<sup>o</sup> Milyen  $\Gamma_f$  görbének van ívhossza? 2<sup>o</sup> Hogyan lehet  $\ell_f$ -et kiszámolni?

A válaszok motiválásához az egyszerűség végett tegyük fel azt, hogy az  $f$  függvény folytonosan deriválható az  $[a, b]$  intervallumon (röviden  $f \in C^1[a, b]$ ), és tekintsük az  $\ell_f(\tau)$  összeg  $i$ -edik tagját:

$$\begin{aligned} \ell_i &= \sqrt{(x_{i+1} - x_i)^2 + (f(x_{i+1}) - f(x_i))^2} = \\ &= (x_{i+1} - x_i) \sqrt{1 + \left( \frac{f(x_{i+1}) - f(x_i)}{x_{i+1} - x_i} \right)^2}. \end{aligned}$$

A Lagrange-féle középértéktétel szerint van olyan  $\xi_i \in (x_i, x_{i+1})$  pont, amelyre  $f(x_{i+1}) - f(x_i) = f'(\xi_i)(x_{i+1} - x_i)$  teljesül, ezért

$$\ell_i = (x_{i+1} - x_i) \sqrt{1 + [f'(\xi_i)]^2}.$$

Így az  $f$  függvény grafikonjához közel eső töröttvonal hossza

$$\sum_{i=0}^{n-1} \ell_i = \sum_{i=0}^{n-1} \sqrt{1 + [f'(\xi_i)]^2} \cdot (x_{i+1} - x_i).$$

Vegyük észre, hogy a jobb oldal a  $\varphi(x) := \sqrt{1 + [f'(x)]^2}$  ( $x \in [a, b]$ ) függvény egy integrálközelítő összege. Várható tehát az, hogy a szóban forgó görbének van ívhossza, és az egyenlő az  $\int_a^b \sqrt{1 + [f'(x)]^2} dx$  határozott integrállal.

A részletek mellőzésével itt csak azt jegyezzük meg, az imént vázolt gondolatmenet precíz formában is „végigvihető”, ezért igaz a következő állítás.

**Tétel.** Legyen  $a, b \in \mathbb{R}$   $a < b$  és tegyük fel, hogy  $f \in C^1[a, b]$ . Ekkor az  $f$  függvény

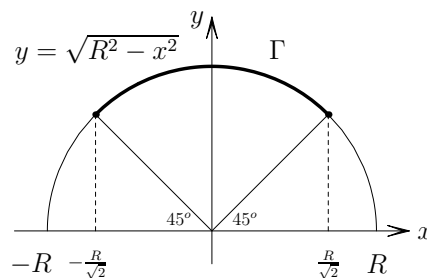
$$\Gamma_f := \{(x, f(x)) \mid x \in [a, b]\}$$

grafikonjának van ívhossza, és az egyenlő az

$$\ell(\Gamma_f) = \int_a^b \sqrt{1 + [f'(x)]^2} dx$$

határozott integrállal.

**3. példa. A kör kerülete.** Az alábbi ábrán jelzett negyedkör ívhosszát fogjuk kiszámolni. Legyen  $f(x) := \sqrt{R^2 - x^2}$  ( $|x| \leq R/\sqrt{2}$ ).



Világos, hogy  $f \in C^1[-R/\sqrt{2}, R/\sqrt{2}]$  és

$$f'(x) = \frac{1}{2\sqrt{R^2 - x^2}} \cdot (-2x) \quad (|x| < R), \quad \text{így}$$

$$\sqrt{1 + [f'(x)]^2} = \sqrt{1 + \frac{x^2}{R^2 - x^2}} = \frac{R}{\sqrt{R^2 - x^2}} = \frac{1}{\sqrt{1 - \left(\frac{x}{R}\right)^2}}.$$

Az előző tétel szerint a  $\Gamma$  görbének van ívhossza és

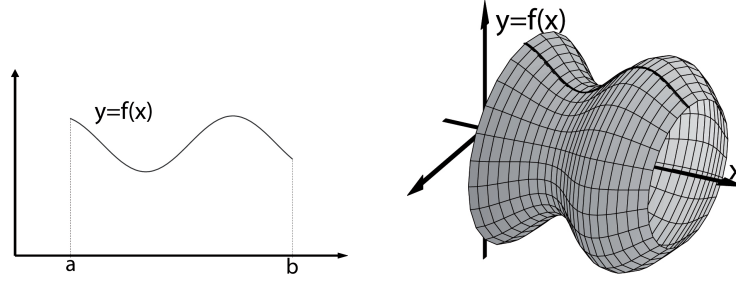
$$\begin{aligned} \ell(\Gamma) &= \int_{-R/\sqrt{2}}^{R/\sqrt{2}} \sqrt{1 + [f'(x)]^2} dx = \int_{-R/\sqrt{2}}^{R/\sqrt{2}} \frac{1}{\sqrt{1 - \left(\frac{x}{R}\right)^2}} dx = \\ &= \left[ R \arcsin \frac{x}{R} \right]_{-R/\sqrt{2}}^{R/\sqrt{2}} = R \left( \arcsin \frac{1}{\sqrt{2}} - \arcsin \left( -\frac{1}{\sqrt{2}} \right) \right) = R \left( \frac{\pi}{4} - \left( -\frac{\pi}{4} \right) \right) = R \cdot \frac{\pi}{2}. \end{aligned}$$

Az  $R$  sugarú kör kerülete tehát  $4 \cdot R \cdot \frac{\pi}{2} = 2R\pi$ . ■

**Megjegyzés.** A középiskolában a  $\pi$  számot az egységsugarú kör kerületének a felével értelmeztük. A 4. előadáson a (hatványsor összegfüggvényeként bevezetett)  $\cos$  függvény első pozitív zérushelyének a kétszeresével definiáltuk a  $\pi$  számot. A fentiek alapján a két definíció ekvivalens. Ebből az is következik, hogy a középiskolában bevezetett  $\sin$ , illetve  $\cos$  függvény valóban egyenlő az Analízis I. tantárgyban definiált  $\sin$ , illetve  $\cos$  függvénnyel.

### Forgástest térfogata

A Riemann-integrál eszköztárát a térfogat problémájának a vizsgálatánál is felhasználhatjuk. A továbbiakban csak **forgástesteket** (vagyis olyan térrészt amelyet egy függvény-grafikon alatti tartomány  $x$  tengely körüli megforgatásával kapunk) fogunk csak vizsgálni. A terület és az ívhossz problémájánál alkalmazott gondolatmenetet követjük: a forgástestet beírt és körülírt hengerekkel (ezek térfogatát ismertnek tekintjük) közelítjük.



Tekintsünk egy nemnegatív  $f$  függvényt a korlátos és zárt  $[a, b]$  intervallumon. Ekkor az

$$A_f := \{(x, y, z) \in \mathbb{R}^3 \mid a \leq x \leq b, y^2 + z^2 \leq f^2(x) \ (y, z \in \mathbb{R})\}$$

halmazt az  $f$  függvény által meghatározott **forgástestnek** nevezzük.

Ha  $n \in \mathbb{N}$  és  $\tau = \{a = x_0 < x_1 < \dots < x_n = b\}$  az  $[a, b]$  intervallum egy felosztása, akkor legyen

$$m_i := \inf_{x \in [x_i, x_{i+1}]} f(x) \quad \text{és} \quad M_i := \sup_{x \in [x_i, x_{i+1}]} f(x) \quad (i = 0, 1, \dots, n-1).$$

A

$$h_i = \{(x, y, z) \in \mathbb{R}^3 \mid x_i \leq x \leq x_{i+1}, y^2 + z^2 \leq m_i^2 \ (y, z \in \mathbb{R})\}$$

beírt hengerekre, illetve a

$$H_i = \{(x, y, z) \in \mathbb{R}^3 \mid x_i \leq x \leq x_{i+1}, y^2 + z^2 \leq M_i^2 \ (y, z \in \mathbb{R})\}$$

körülírt hengerekre nyilvánvalóan fennáll, hogy

$$\bigcup_{i=0}^{n-1} h_i \subset A_f \subset \bigcup_{i=0}^{n-1} H_i.$$

Jelöljük  $V(B)$ -vel a  $B \subset \mathbb{R}^3$  test térfogatát. Az  $r$  alapsugarú és  $m$  magasságú henger térfogata  $r^2\pi \cdot m$ , ezért

$$V\left(\bigcup_{i=0}^{n-1} h_i\right) = \pi \sum_{i=0}^{n-1} m_i^2 \cdot (x_{i+1} - x_i) = \pi s(f^2, \tau),$$

illetve

$$V\left(\bigcup_{i=0}^{n-1} H_i\right) = \pi \sum_{i=0}^{n-1} M_i^2 \cdot (x_{i+1} - x_i) = \pi S(f^2, \tau).$$

Ha tehát az  $A_f$  forgástestnek is akarunk a  $V(A_f)$ -fel jelölt térfogatot tulajdonítani, akkor fenn kell állnia az alábbi egyenlőtlenségeknek:

$$\pi \cdot s(f^2, \tau) \leq V(A_f) \leq \pi \cdot S(f^2, \tau) \quad (\tau \in \mathcal{F}[a, b])$$

Abban az esetben, ha  $f$  Riemann-integrálható az  $[a, b]$  intervallumon, akkor  $f^2 \in R[a, b]$  is teljesül, azaz

$$I_*(f^2) = \sup_{\tau \in \mathcal{F}[a, b]} s(f^2, \tau) = \inf_{\tau \in \mathcal{F}[a, b]} S(f^2, \tau) = \int_a^b f^2.$$



Az előzőek alapján kézenfekvő az alábbi értelmezés.

**Definíció.** Legyen  $0 \leq f \in R[a, b]$ . Ekkor  $f$  grafikonjának az  $x$  tengely körüli megforgatásával adódó

$$A_f := \{(x, y, z) \in \mathbb{R}^3 \mid a \leq x \leq b, y^2 + z^2 \leq f^2(x) \ (y, z \in \mathbb{R})\}$$

forgástestnek van térfogata, és az egyenlő a

$$\pi \int_a^b f^2(x) dx$$

intergrállal.

**4. példa.** A gömb térfogata. Tekintsük valamilyen  $R > 0$  mellett az

$$f(x) := \sqrt{R^2 - x^2} \quad (x \in [-R, R])$$

függvényt. Mivel  $f$  folytonos, ezért Riemann-integrálható  $[-R, R]$ -en. Az  $A_f$  forgástest egy  $R$  sugarú gömb. A fenti definíció szerint ennek van térfogata, és a Newton–Leibniz-tétel felhasználásával a térfogata

$$\begin{aligned} \pi \int_a^b f^2(x) dx &= \pi \int_{-R}^R (R^2 - x^2) dx = \pi \left[ R^2 x - \frac{x^3}{3} \right]_{-R}^R = \\ &= \pi \left( \left( R^2 \cdot R - \frac{R^3}{3} \right) - \left( R^2 \cdot (-R) - \frac{(-R)^3}{3} \right) \right) = \pi \left( \frac{2R^3}{3} - \left( -\frac{2R^3}{3} \right) \right) = \frac{4R^3\pi}{3}. \end{aligned}$$

Az  $R$  sugarú gömb térfogata tehát  $4R^3\pi/3$ , és ez megegyezik a korábbi tanulmányokban gyakran használt képlettel.

### Forgástest felszíne

Felületek felszínének a problémája (még forgásfelület esetén is) jóval bonyolultabb, mint a terület vagy a térfogat problémája. A továbbiakban azonban az alkalmazások szempontjából jól használható eredményt fogunk ismertetni.

Legyen  $f$  a korlátos és zárt  $[a, b]$  intervallumon értelmezett nemnegatív függvény. Jelöljük  $\mathcal{A}_f$ -fel  $f$  grafikonjának az  $x$  tengely körüli megforgatásával kapott halmazt:

$$\mathcal{A}_f := \{(x, y, z) \in \mathbb{R}^3 \mid a \leq x \leq b, y^2 + z^2 = f^2(x) \ (y, z \in \mathbb{R})\},$$

amit az  $f$  függvény által meghatározott **forgásfelületnek** nevezünk.

Kézenfekvő az a feltételezés, hogy  $\mathcal{A}_f$  felszínét megközelítik az  $f$  grafikonjába beírt töröttvonalak megforgatásával kapott halmazok (ezek *csonkakúp palástok* egyesítései) felszínei.

Tekintsük az  $[a, b]$  intervallum egy  $\tau$  felosztását, és jelöljük  $\Phi_\tau$ -val a szóban forgó csonkakúp palástok felszíneinek (ezt ismertnek tekintjük) az összegét. Mivel  $f$  grafikonjának ívhossza (ha létezik) egyenlő kell hogy legyen a beírt töröttvonalak ívhosszai halmazának a szuprémumával,

ezért első gondolatunk az lehetne, hogy az  $\mathcal{A}_f$  halmaz felszíne egyenlő kell hogy legyen a  $\Phi_\tau$  értékek ( $\tau \in \mathcal{F}[a, b]$ ) szuprémumával. Ez azonban már egészen egyszerű függvények esetében sem igaz. Tekintsük például az  $|x|$  függvényt a  $[-1, 1]$  intervallumon. Ekkor  $\mathcal{A}_f$  két egybevágó kúppalást egyesítése, ezért a felszíne  $2 \cdot (2\pi \cdot \sqrt{2}/2) = 2\sqrt{2}\pi$ . Ha azonban a  $\tau$  felosztás csupán a  $-1$  és  $1$  osztópontokból áll, akkor  $\Phi_\tau = 2\pi \cdot 2 = 4\pi$ , ami nagyobb, mint  $\mathcal{A}_f$  felszíne.

Ez a példa a helyes definíciót is sugallja. A technikai nehézségeket elkerülendő azt az egyszerűbb utat választjuk, hogy az imént jelzett okoskodás végeredményeképpen kapott integrállal definiáljuk a felszínt.

**Definíció.** Legyen  $a, b \in \mathbb{R}$ ,  $a < b$  és tegyük fel, hogy  $0 \leq f \in C^1[a, b]$ . Ekkor  $f$  grafikonjának az  $x$ -tengely körüli forgatásával adódó

$$\mathcal{A}_f = \{(x, y, z) \in \mathbb{R}^3 \mid a \leq x \leq b, \quad y^2 + z^2 = f^2(x) \quad (y, z \in \mathbb{R})\}$$

forgásfelületnek van felszíne, és értéke

$$2\pi \int_a^b f(x) \cdot \sqrt{1 + [f'(x)]^2} dx.$$

**5. példa.** **A gömb felszíne.** Az origó középpontú és  $R$  sugarú gömbfelületet az

$$f(x) = \sqrt{R^2 - x^2} \quad (x \in [-R, R])$$

függvény grafikonjának az  $x$  tengely körüli megforgatásával kapjuk. Legyen  $0 < r < R$  és tekintsük az

$$f_r(x) = \sqrt{R^2 - x^2} \quad (x \in [-r, r]).$$

Ekkor  $f_r \in C^1[-r, r]$  és

$$f'_r(x) = -\frac{x}{\sqrt{R^2 - x^2}} \quad (x \in [-r, r]),$$

továbbá

$$1 + [f'_r(x)]^2 = 1 + \frac{x^2}{R^2 - x^2} = \frac{R^2}{R^2 - x^2} \quad (x \in [-r, r]).$$

Ezért az  $f_r$  által a fentiekben meghatározott és  $\mathcal{A}_r$ -rel jelölt forgásfelület felszíne

$$F_r := 2\pi \int_{-r}^r \sqrt{R^2 - x^2} \cdot \sqrt{\frac{R^2}{R^2 - x^2}} dx = 2\pi R \int_{-r}^r 1 dx = 4Rr\pi.$$

A „szemlélet alapján” könnyen elfogadható (az egzakt meggondolásokat nem részletezve), hogy az  $r \rightarrow R$  határátmenettel  $\mathcal{A}_r \rightarrow \mathcal{A}_R$ , ahol  $\mathcal{A}_R$  az  $R$  sugarú gömb felszíne. Ugyanakkor

$$\lim_{r \rightarrow R} F_r = \lim_{r \rightarrow R} 4Rr\pi = 4R^2\pi,$$

ami valóban nem más, mint az  $R$  sugarú gömb felszíne.

# Improprius integrálok

A Riemann-integrál értelmezésénél a kiindulópontunk az volt, hogy csak olyan  $f$  függvényeket tekintettünk, amelyekre a következő két feltétel teljesül:

- (a)  $f$  értelmezési tartománya egy **korlátos és zárt**  $[a, b]$  intervallum,
- (b) az  $f$  függvény **korlátos**  $[a, b]$ -n.

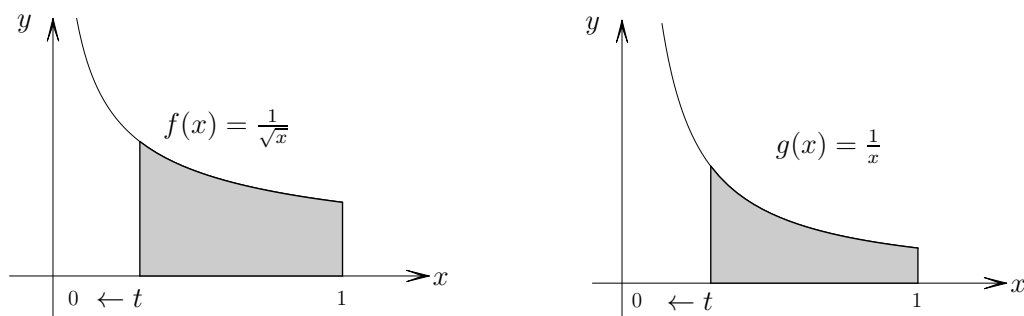
Röviden ezt úgy fejeztük ki, hogy  $f \in K[a, b]$ . Az eddigiekben bizonyos  $K[a, b]$ -beli  $f$  függvényekhez hozzárendeltünk egy, az  $\int_a^b f$  szimbólummal jelölt valós számot, amit az  $f$  függvény  $[a, b]$ -vett *Riemann-integráljának* vagy *határozott integráljának* neveztünk.

Az (a) és (b) megszorítások néha túl szigorúnak bizonyulnak. Felvethető tehát az a **probléma**, hogy ezeket a feltételeket nem kielégítő függvényekre vajon értelmezhető-e az integrál fogalma. Egyfajta kiterjesztést tesz lehetővé az ún. **improprius integrálok**. A következő példán „érzékeltejtük”, hogy ezt „elég természetes” módon meg tudjuk tenni.

**Példa.** Legyen

$$f(x) := \frac{1}{\sqrt{x}} \quad (x \in (0, 1]) \quad \text{és} \quad g(x) := \frac{1}{x} \quad (x \in (0, 1])$$

Tekintsük a következő ábrákat:



Ekkor

$$\lim_{t \rightarrow 0+0} \int_t^1 \frac{1}{\sqrt{x}} = \lim_{t \rightarrow 0+0} (2 - 2\sqrt{t}) = 2, \quad \lim_{t \rightarrow 0+0} \int_t^1 \frac{1}{x} = \lim_{t \rightarrow 0+0} (\ln 1 - \ln t) = +\infty.$$

Azt fogjuk mondani, hogy az  $\int_0^1 f$  improprius integrál **konvergens**, az  $\int_0^1 g$  pedig **divergens**.

**Megjegyzés.** Így bizonyos nem korlátos síkidomok területét is értelmezhetjük.  $\square$

Az egyik legfontosabb eredmény az improprius integrálok körében az, hogy

$$\int_{-\infty}^{+\infty} e^{-x^2} dx = \sqrt{\pi},$$

ami a valószínűségszámításban játszik fontos szerepet. Egy későbbi előadáson megmutatjuk ennek az állításnak a bizonyítását.

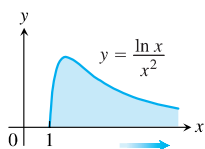
Az (a) és (b) feltételek sokféleképpen nem teljesülhetnek. A következő táblázatban néhány „tipikus” esetet mutatunk be.

### Types of Improper Integrals Discussed in This Section

#### INFINITE LIMITS OF INTEGRATION: **TYPE I**

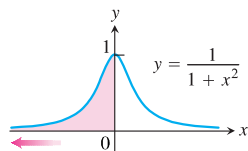
##### 1. Upper limit

$$\int_1^{\infty} \frac{\ln x}{x^2} dx = \lim_{b \rightarrow \infty} \int_1^b \frac{\ln x}{x^2} dx$$



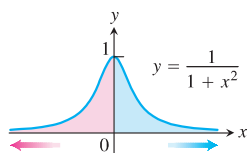
##### 2. Lower limit

$$\int_{-\infty}^0 \frac{dx}{1+x^2} = \lim_{a \rightarrow -\infty} \int_a^0 \frac{dx}{1+x^2}$$



##### 3. Both limits

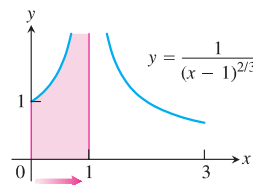
$$\int_{-\infty}^{\infty} \frac{dx}{1+x^2} = \lim_{b \rightarrow -\infty} \int_b^0 \frac{dx}{1+x^2} + \lim_{c \rightarrow \infty} \int_0^c \frac{dx}{1+x^2}$$



#### INTEGRAND BECOMES INFINITE: **TYPE II**

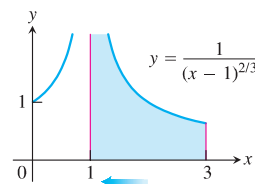
##### 4. Upper endpoint

$$\int_0^1 \frac{dx}{(x-1)^{2/3}} = \lim_{b \rightarrow 1^-} \int_0^b \frac{dx}{(x-1)^{2/3}}$$



##### 5. Lower endpoint

$$\int_1^3 \frac{dx}{(x-1)^{2/3}} = \lim_{d \rightarrow 1^+} \int_d^3 \frac{dx}{(x-1)^{2/3}}$$



##### 6. Interior point

$$\int_0^3 \frac{dx}{(x-1)^{2/3}} = \int_0^1 \frac{dx}{(x-1)^{2/3}} + \int_1^3 \frac{dx}{(x-1)^{2/3}}$$

